

بِحَثِّ عَن

تعيين سمك الشرائح الرقيقة المحضرة  
بالتبخير بواسطة هذب التداخل  
الضوئي المتعدد عد الانعكاس

مقدم من الطالبة  
خديجة محمد خير الحلفاوى

تحت اشراف  
الدكتورة سميرة مختار

للعام الدراسي

١٤٠٢ - ١٤٠٣ هـ



بِسْمِ اللّٰهِ الرَّحْمٰنِ الرَّحِیْمِ

## الشكر

أقدم شكري لسعادة الدكتور رئيس قسم الفيزياء  
وسعادة الدكتورة نائبة رئيس قسم الفيزياء كما أقدم  
شكري الى الدكتورة سميرة عبد الله مختار لاشرفها  
على البحث .

## الفهرس

### المحتويات

الصفحة	
١	١- المقدمة
٣	٢- اعتبارات عامة
٤	٣-١ توزيع الشدة الضوئية في هدب التداخل الضوئي المتعدد .....
٤	٣-٢ استنتاج العلاقة التي تعطى توزيع الشدة الضوئية في هدب التداخل المتعدد عند الانعكاس
٨	٤- نظرية استخدام طريقة التداخل الضوئي المتعدد لتعيين سمك الشرائح الرقيقة .....
١٠	٥- طريقة تبخير وتحضير الشرائح المعدنية الرقيقة .
١٢	٦- الجهاز الضوئي والطريقة العملية المستخدمة في قياس سمك الشريحة المرسبة بواسطة هدب فيزو للتداخل الضوئي المتعدد عند الانعكاس .
١٤	٧- النتائج .....
١٦	٨- المراجع .....

## المقدمة:

لقد أصبحت دراسة الشرائح الرقيقة للمعادن وأشباه الموصلات والعوازل تحتل مكانة بارزة في النصف الأخير من هذا القرن . فلقد نتج عن الاستخدام المتزايد للنظم الالكترونية البالغة التعقيد أن أصبحت الحاجة ماسة الى تطوير الميكرو-الكترونات التي تستخدم فيها الشرائح الرقيقة (Thin film microelectronics)

وكذلك الدوائر الالكترونية المتكاملة (Integrated circuits) وتتقضى هذه الطرق الحديثة في بناء الدوائر ترسيب طبقات عديدة على مسطحات ضوئية (Substrate) لتعمل كمقاومات ومكثفات وترانزيستورات . ويتم ترسيب الشرائح في اجهزة تفريغ تحت ضغط منخفض يتراوح من  $10^{-5}$  تور الى  $10^{-9}$  تور .

ويعتبر تحديد سمك الطبقات المرسبة من أهم العوامل التي تحدد أداء هذه المكونات ولذلك كان من الضروري ايجاد طريقة دقيقة لقياسه . وقد أثبتت البحوث الحديثة أن الطرق الضوئية باستخدام التداخل الضوئي المتعدد Multiple beam interferometry يعتبر وسيلة على درجة عالية من الدقة في قياس سمك هذه الشرائح .

وبعد أن ثبت أن الطرق الضوئية في قياس الأطوال تؤدي الى نتائج عالية الدقة وذلك باستخدام اجهزة التداخل الضوئي قرر المؤتمر العام للمقاييس والموازين عام ١٩٢٧ باستخدام هذه الطريقة في تحقيق المتر وفي عام ١٩٦٠ اتفقوا ولما على أن تعرف وحدة قياس الأطوال (المتر) على أنها

الطول المساوى لطول ٧٣ و ١٦٥٠٧٦٣ موجة فى الفراغ من موجات الشعاع الناتج عن التذبذب بالالكترونى بين مدارين محددين فى ذرة الكريبتون ٨٦ وبهذه الطريقة اصبح من الممكن قياس وحدة الأطوال بدقة تصل الى ١٠<sup>-٨</sup> من المتر .

ومثل هذه الدقة العالية مطلوبة كذلك فى تحديد درجة الدقة فى تشطيب السطوح (Surface finish) ولا سيما للأغراض المصنعة والمطلوب استخدامها فى الصناعات ذات الدقة العالية . وكذلك فى معايرة قود القياس (gauge blocks) التى تستخدم فى معايرة اجهزة قياس الأطوال بمختلف انواعها وأشكالها ودقتها .

والدراسة الحالية تتناول شرح تكتيك عملى لقياس سمك شرائح رقيقة من الفضة مرسية على مسطحات ضوئية Optical flats من الزجاج . .

### اعتبارات عامة :

تعتمد الطرق الضوئية في قياس الأطوال على عاملين أساسيين هما خصائص الشريحة المرسبة وخصائص المسطح المرسب عليه الشريحة (Substrate) .  
ولذلك فالطريقة الضوئية الواجب استخدامها للقياس تعتمد على خصائص الشريحة مثل درجة الصلابة ودرجة التجانس ودرجة الشفافية ودرجة عكسها للأشعة ، وتعتمد كذلك على خصائص المسطح مثل درجة صقله وخواصه الضوئية ودرجة استوائه ، كما تعتمد على درجة الدقة المطلوب قياس السمك بها .  
وحيث أن السمك المراد قياسه عادة ما يكون مقاربا للطول الموجي للضوء المستخدم وأقل منه فقد وجد أن هناك العديد من ظواهر التداخل الضوئي التي يمكن استخدامها لقياس سمك الشرائح الرقيقة . ولعل من أكثر

هذه الطرق شيوعا هما طريقتي التداخل الضوئي الثنائي والمتعدد

Two and multiple beam interference

وفي حالة التداخل الضوئي الثنائي يكون توزيع الشدة الضوئية طبقا لقانون مربع

جيب التمام  $\cos^2$  law طبقا للمعادلة  $I = 4 A^2 \cos^2 \frac{\delta}{2}$

وفيها يكون اتساع هدب التداخل المضيئة والمظلمة متساويان كما في

شكل (١) .

وفي هذا البحث قد قمنا باستخدام طريقة التداخل الضوئي المتعدد عد

الانعكاس Multiple beam interference fringes at reflection

لقياس سمك شريحتين من الفضة المرسبتين على سطح ضوئي مستوي ومتوازي

Optical flat substrate

وهذه الطريقة دقيقة جدا من سمك ٤٠ أنجستروم إلى ٥٠٠٠ أنجستروم

أي من ٠.٠٠٤ ميكرومتر إلى ٠.٥ ميكرومتر .



شکل (۱)



١-٣ توزيع الشدة الضوئية في هدب التداخل الضوئي المتعدد :

يتميز هدب التداخل الضوئي المتعدد بنوعين لتوزيع الشدة الضوئية  
Intensity distribution

أ - نظام التداخل الضوئي المتعدد عد الانعكاس:  
Multiple beam reflected system

• يتميز بوجود خطوط حادة مظلمة على خلفية مضيئة كما في شكل (٢) .

ب- نظام التداخل الضوئي المتعدد عد النفاذ :  
Multiple beam transmitted system

يتميز بوجود خطوط حادة مضيئة على خلفية مظلمة كما في شكل (٣)

٢-٣ استنتاج العلاقة التي تعطي توزيع الشدة الضوئية في هدب التداخل

المتعدد عد الانعكاس :-

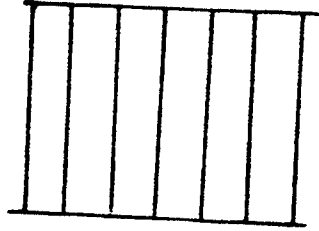
نفرض أن A و B يمثلان مسطحين ضوئيين متوازيين مغطيان بطبقة  
من الفضة ذات انعكاس مختلف وبينهما طبقة من الهواء سمكها (t) كما  
في شكل (٤) .

بالنسبة للطبقة الأولى:

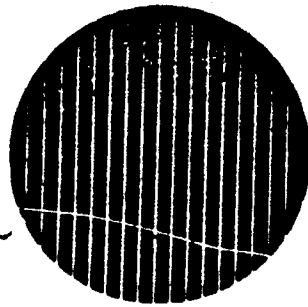
يكون الانعكاس بين (زجاج - معدن) و (هواء - معدن)  $r_1^2$  ,  $r_2^2$   
والنفاذية هي  $T_1^2$  على الترتيب . ويكون التغير الطوري عد الانعكاس (زجاج -  
معدن) ، (هواء - معدن) وكذلك التغير الطوري عد النفاذ هي  $\beta_1$  ,  $\beta_2$  ،  $\beta_3$   
على الترتيب .

بالنسبة للطبقة الثانية:

يكون الانعكاس بين (هواء - معدن) هو  $r_3^2$  والتغير الطوري عد  
الانعكاس (هواء - معدن) هو  $\beta_3$  وكذلك التغير الطوري عد النفاذ هو  $\beta_4$



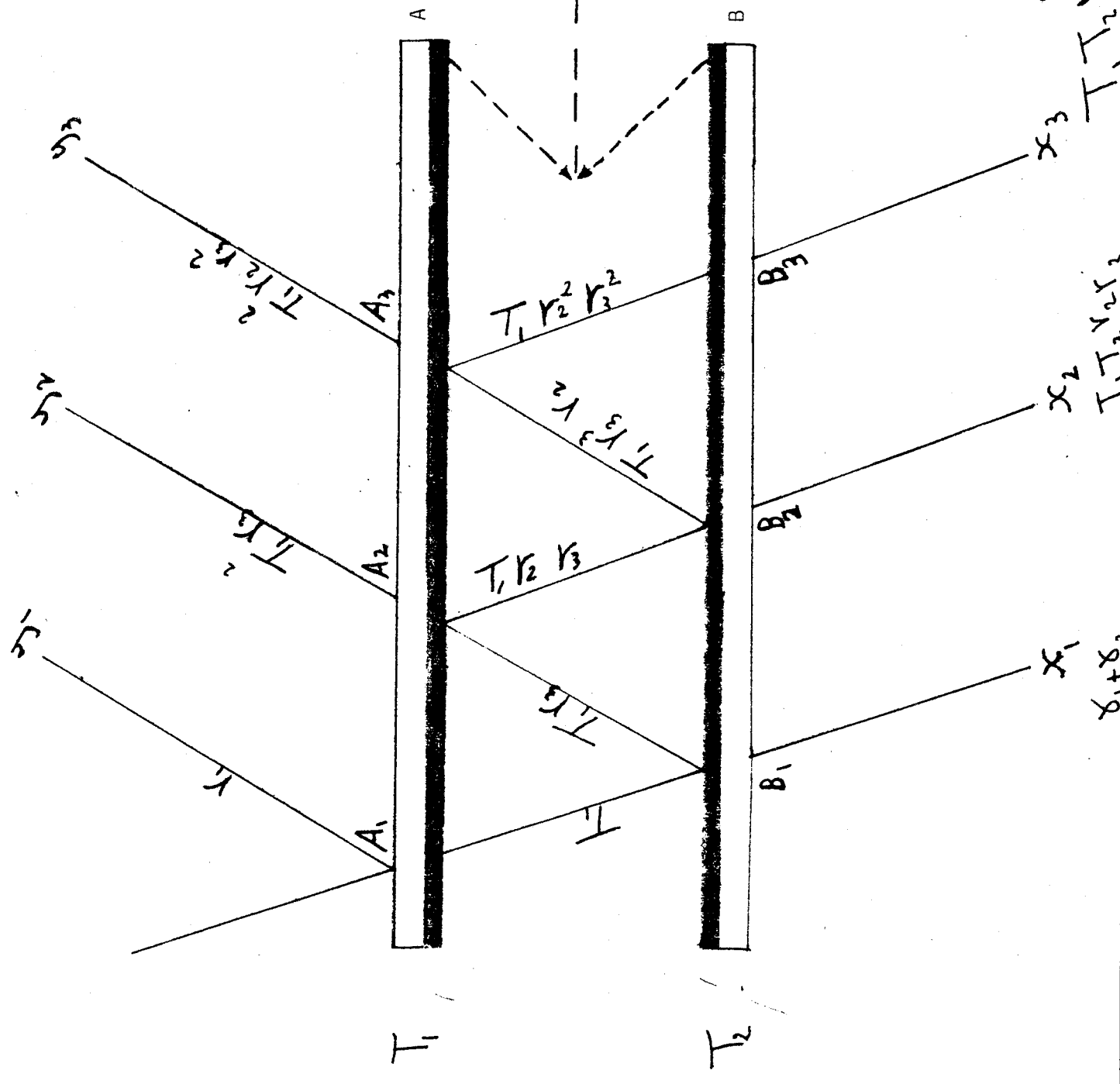
شکل (۵)



شکل (۶)

خط القوس  
القوس

شكل (٤)



اذ يكون مقدار الفرق في المسار بين أى شعاعين متتاليين مساويا  $2t \cos \theta$  كما أن الفرق في الطور بين أى شعاعين متتاليين يعطى بالمعادلة:

$$\Delta = \frac{2\pi}{\lambda} (2t \cos \theta) + \beta_2 + \beta_3$$

$$= \delta + \beta_3 + \beta_2$$

ويعبر عن الموجات المنعكسة

$$r_1 e^{i(\omega t + \beta_1)}, T_1^2 r_3 e^{i(\omega t + 2\gamma_1 + \beta_3 + \delta)};$$

أما محصلة الموجات المنعكسة فيعبر عنها

$$R_R = r_1 e^{i(\omega t + \beta_1)} + T_1^2 r_3 e^{i(\omega t + 2\gamma_1 + \beta_3 + \delta)}$$

$$+ T_1^2 r_2 r_3^2 e^{i(\omega t + 2\gamma_1 + \beta_2 + 2\delta + 2\beta_3)}$$

$$F = 2\gamma_1 - \beta_1 - \beta_2 \quad \text{بوضع}$$

$$R_R = e^{i(\omega t + \beta_1)} \left( r_1 + T_1^2 r_3 e^{i(F + \Delta)} (1 + r_2 r_3 e^{i\Delta} + r_2^2 e^{2i\Delta} + r_3^2 \dots) \right)$$

$$= e^{i(\omega t + \beta_1)} \left[ r_1 + T_1^2 r_3 e^{i(F + \Delta)} \frac{1}{1 + r_2 r_3 e^{i\Delta}} \right]$$

$$= e^{i(\omega t + \beta_1)} \left[ r_1 + T_1^2 r_3 \frac{e^{i(F + \Delta)} - r_2 r_3 e^{iF}}{1 - 2r_2 r_3 \cos \Delta + r_2^2 r_3^2} \right]$$

$$= e^{i(\omega t + \beta_1)} \left[ r_1 + T_1^2 r_3 \frac{\cos(F + \Delta) - r_2 r_3 \cos F + i \sin(F + \Delta) - r_2 r_3 \sin F}{1 - 2r_2 r_3 \cos \Delta + r_2^2 r_3^2} \right]$$

$$R_R = A_R e^{i(\omega t + \beta_1)}$$

$$I_R = (A_R)^2$$

$$I_R = \left[ r_1^2 + \frac{T_1^2 r_3^2 \cos(F+\Delta) - r_2 r_3 \cos F}{1 - 2r_2 r_3 \cos \Delta + r_2^2 r_3^2} \right]^2 + \left[ \frac{T_1^2 r_3^2 \sin(F+\Delta) - r_2 r_3 \sin F}{1 - 2r_2 r_3 \cos \Delta + r_2^2 r_3^2} \right]^2$$

$$= r_1^2 + 2 \frac{T_1^2 r_1 r_3 \cos(F+\Delta) - r_2 r_3 \cos F}{1 - 2r_2 r_3 \cos \Delta + r_2^2 r_3^2} + \frac{T_1^4 r_3^2 (1 + r_2^2 r_3^2 - 2r_2 r_3 \cos \Delta)}{(1 - 2r_2 r_3 \cos \Delta + r_2^2 r_3^2)^2}$$

$$= r_1^2 + 2 \frac{T_1^2 r_1 r_3 \cos(F+\Delta) - r_2 r_3 \cos F}{1 - 2r_2 r_3 \cos \Delta + r_2^2 r_3^2} + \frac{T_1^4 r_3^2}{1 - 2r_2 r_3 \cos \Delta + r_2^2 r_3^2}$$

$$F = (2m + 1)\pi$$

عندما تكون

$$I_R = r_1^2 + \frac{T_1^4 r_3^2 - 2 T_1^2 r_1 r_3 \cos \Delta + 2 T_1^2 r_2 r_3 r_1}{1 - 2 r_2 r_3 \cos \Delta + r_2^2 r_3^2}$$

في حالة  $\Delta = 2n\pi$

$$I_R = r_1^2 + \frac{T_1^4 r_3^2 - 2 T_1^2 r_1 r_3 + 2 T_1^2 r_1 r_2 r_3}{(1 - r_2 r_3)^2}$$

$$I_R = r_1^2 - \frac{2 T_1^2 r_3 (1 - r_2 r_3) r_1}{(1 - r_2 r_3)^2} + \frac{T_1^4 r_3^2}{(1 - r_2 r_3)^2}$$

$$= \left( r_1 - \frac{T_1^2 r_3}{1 - r_2 r_3} \right)^2 \quad I_{\min} \quad \dots \dots \dots (1)$$

$\Delta = (2n + 1)\pi$  عندما

$$\begin{aligned} I_R &= r_1^2 + \frac{T_1^4 r_3^2 + 2T_1^2 r_3 r_1 + 2T_1^4 r_1 r_2 r_3^2}{(1 + r_2 r_3)^2} \\ &= r_1^2 + \frac{2T_1^2 r_1 r_3 (1 + r_2 r_3)}{(1 + r_2 r_3)^2} + \frac{T_1^4 r_3^2}{(1 + r_2 r_3)^2} \\ &= \left( r_1 + \frac{T_1^2 r_3}{1 + r_2 r_3} \right)^2 \quad I_{\max} \quad \dots \dots \dots (2) \end{aligned}$$

هذه الحالة هي لخطوط معتمة منتظمة على خلفية مضيئة كما في شكل (٢)

وفي هذه الحالة تعطى  $I_{\min}$  ،  $I_{\max}$  بمعادلة (١) ، (٢) وهي:

$$I_{R(\min)} = \left( r_1 - \frac{T_1 r_3}{1 - r_2 r_3} \right)^2$$

for  $= (2n + 1)$

$$I_{R(\max)} = \left( r_1 + \frac{T_1^2 r_3}{1 + r_2 r_3} \right)^2$$

٤- نظرية استخدام طرق التداخل الضوئي المتعدد لتعيين سمك الشرائح الرقيقة .

يرجع الفضل في تطوير واستخدام نظام فيزو للتداخل الضوئي المتعدد عند الانعكاس في قياس سمك الشرائح الرقيقة الى العالم الانجليزي تولنسكي عام ١٩٤٨ . شكل (٥) يوضح نظرية هذه الطريقة .  
نفرض أن الشريحة (A) المراد قياس سمكها مرسبة على سطح زجاجي (B) . فلواننا حجبنا بدقة جزء من سطح الزجاج بواسطة شريحة رقيقة من الميكا فان المعدن المتبخر يغطي جزء من المسطح الزجاجي (A) تاركا الجزء الذي حجبه شريحة الميكا عاريا . بد ذلك نرسب طبقة اخرى (C) على السطح كله (A-C) . وذلك تتكون سلمه (step) عند المنطقة المرسب عليها الطبقة (A) وفوقها الطبقة (C) حيث أن النصف الثاني من المسطح (B) عليه طبقة واحدة هي (C) ويكون ارتفاع السلم مساويا لسمك الطبقة (A) .  
نأتي بمسطح زجاجي آخر (D) ونرسب عليه طبقة من الفضة (E) ذات انعكاس مناسب (R = 70 %)

ثم يوضع المسطحين فوق بعضهما كما هو موضح في شكل (٥) وذلك يكون مقياس التداخل Interferometer وبيضاء باستخدام ضوء متوازي وأحادى اللون (لمبة الزئبق) فنحصل على هدب فيزو للتداخل المتعدد عدسـذ سبين الهدب المتكونة بين السطحين (E & C) مقدار ارتفاع السلم الناتجة

عن الطبقة المرسبة (A) والمراد تعيين سمكها .  
وفي هذا النظام تقوم الطبقة المعتمدة (C) بدور كبير فعندما تكون لها قدرة  
انعكاس كبيرة مناسبة فاننا نحصل على هدب دقيقة . وشرط الحصول على  
تداخل بالانعكاس هو

$$n \lambda = 2t + (\beta_E \lambda + \beta_C \lambda) \dots (1)$$

$$(n + \Delta n) = 2(t + \Delta t) + (\beta_{C+A} \lambda + \beta_C \lambda) \dots (2)$$

حيث  $\beta_{C+A}$  ،  $\beta_C$  ،  $\beta_E$  هي فرق المسار نتيجة للتغير الطوري عند الانعكاس  
من الطبقات المعدنية C و E و (C + A) على الترتيب  
( $\Delta n$ ) هو مقدار الازاحة معبراً عنه كجزء من مقدار الانفصال بين الهدب .

وطرح معادلة ١ من معادلة ٢ نحصل على أن

$$\Delta n \lambda = 2 \Delta t + (\beta_{C+A} - \beta_C) \lambda$$

ويمكن اعتبار أن مقدار الحد الأخير يساوي صفر عندما تكون الطبقة (C)  
معتمدة ولها الثوابت الضوئية للمعادن الميكة عندئذ

$$\Delta n \lambda = 2 \Delta t$$

$$\Delta t = \Delta n \frac{\lambda}{2}$$

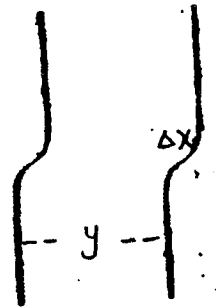
حيث  $\lambda$  هو الطول الموجي للضوء المستخدم ،  $\Delta n = \frac{\Delta x}{y}$

حيث  $\Delta n$  هو مقدار الازاحة المكافئ لـ  $\Delta x$  ،  $y$  انظر شكل (٦)

$\Delta x$  مقدار ازاحة الهدب ،  $y$  هي المسافة بين كل هدبين متجاورين ،

$\Delta t$  هو سمك الشريحة المرسبة المطلوب معرفتها .





شکل (٦)

### ٥- طريقة تبخير وتحضير الشرائح المعدنية الرقيقة:

يتكون الجهاز المستخدم في تبخير المعادن المستخدمة في تحضير الشرائح الرقيقة Evaporation plant من جهاز تفريغ شكل (٧) مؤلف من مضخة انتشار ومضخة اخرى ميكانيكية متصلتين ببعضهما عن طريق صمامات وأنايب توصيل ويقومان بتفريغ غرفة زجاجية يتم فيها تبخير المعدن وترسيبه على المسطحات الزجاجية كما في شكل (٥) . وتعتمد درجة انتظام سمك الشرائح المرسبة على مدى ارتفاع هذه الغرفة فكلما زاد الارتفاع كلما زاد انتظام سمك الشريحة .

ويتم تبخير المعدن عن طريق وضعه في بودقة خاصة من مادة الملبدم أو التتجستن يمر فيها تيار كهربى مناسب يكفى لتسخين المعدن الى درجة تسمح بتبخيره تحت درجة تفريغ حوالى  $10^{-6}$  تور . وفوق البودقة يوضع المسطح الضوئى المراد ترسيب المعدن المتبخر فوقه بحيث يكون عموديا على اتجاه المعدن المتبخر ويثبت فى مكانه بواسطة ماسك خاص . وفى التجارب الحالية كان المسطح المستخدم عبارة عن مسطح ضوئى متوازى

Plane parallel optical flat

ومستوى

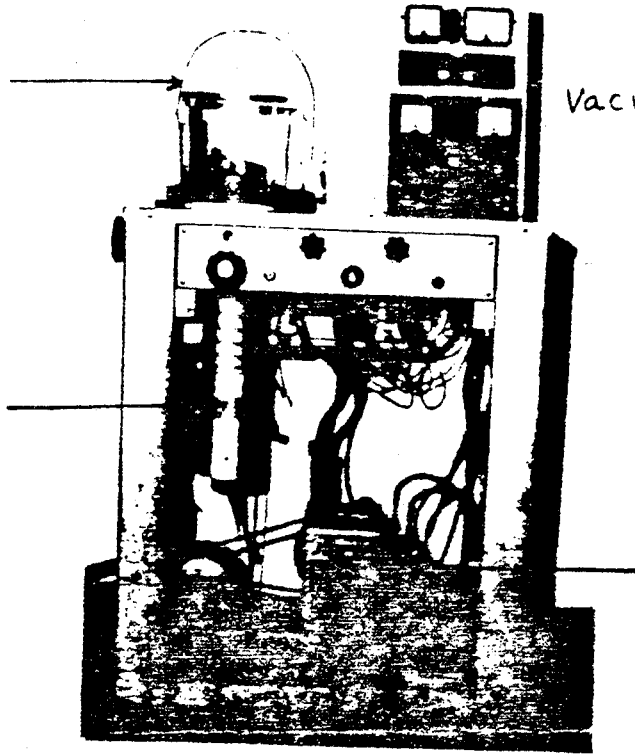
وقبل البدء فى عملية التبخير نفرغ الغرفة الزجاجية أولا باستخدام المضخة الميكانيكية حتى يصل التفريغ الى  $10^{-2}$  تور كما يبين مقياس التفريغ ( بيرانى ) ثم نفرغ بعد ذلك بواسطة مضخة الانتشار حتى  $10^{-6}$  تور كما يبين مقياس ( بنسج ) . وبعد أن يصل التفريغ الى اقصاه تسخن الفتيلة المصنوعة

evaPoration  
chamber

diffusion PumP

Vacuum gauges

rotarY PumP



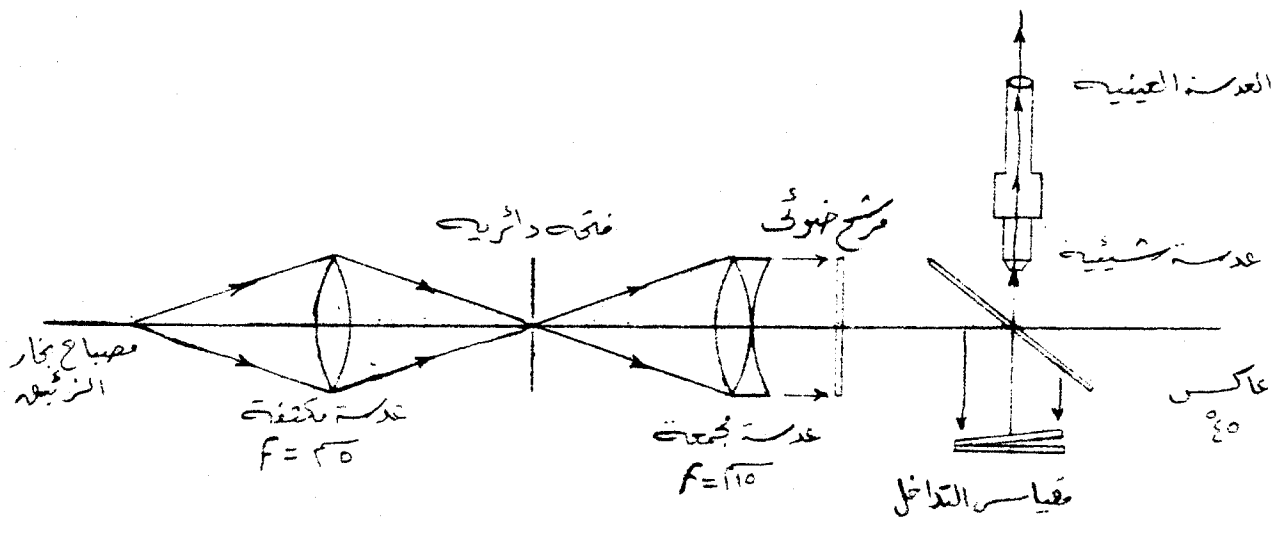
(V) نین

من التجستن بامرار تيار كهريس مناسبفقوم بدورها بتسخين البودقة  
المحتوية على معدن الفضة المراد تبخيره . ويتكف المعدن المتبخـر  
فوق سطح المسطح الضوئى الذى سبق تنظيفه جيدا .

٦- الجهاز الضوئي : الطريقة العملية المستخدمة في قياس سمك الشريحة المرسبة بواسطة هذب فيزو للتداخل الضوئي المتعدد عد الانعكاس .

يبين شكل (٨) الجهاز الضوئي المستخدم في تكوين هذب فيزو وعد الانعكاس وستكون الجهاز من مصدر للضوء وهو مصباح بخار الزئبق (A) ، (B) عدسة مكثفة بعدها البؤرى ه سم تكون صورة صغيرة للمصدر على فتحة دائرية (C) ، (D) عدسة مجمعة بعدها البؤرى /تضبط الفتحة الدائرية على المستوى البؤرى للعدسة فنحصل على اشعة متوازية (E) مرشح ضوئي بحيث يسمح للخط الأخضر ذو الطول الموجي ٥٤٦١ أنجستروم بالمرور خلاله . (F) عبارة عن لوح من الزجاج يصنع زاوية ٤٥° ويقوم بعمل عاكس F' هو ميكروسكوب متحرك . وأما مقياس التداخل الضوئي Interferometer فهو يتكون من المسطحين الضوئيين المبينين في شكل (٥) بحيث يوضعان ملاصقان لبعضهما أي طبقتين الفضة في كل منهما تتلامسان والمسطح العلوي مرسب عليه طبقة من الفضة E درجة انعكاسها حوالي 70% وهي تستخدم كمسطح ضوئي مرجعي وأما المسطح السفلي فمرسب عليه الطبقة المراد تعيين سمكها بحيث تشغل نصف مساحة المسطح فقط بينما يحجب النصف الآخر بواسطة طبقة رقيقة من الميكا ثم يرسب بعد ذلك طبقة سميكة ومنظمة من الفضة على المسطح الضوئي كله .

عد سقوط الأشعة المتوازية على مقياس التداخل بواسطة العاكس يضبط المقياس بدقة شديدة حتى نحصل على هذب متعامدة على طرف السلمة



الجهاز الضوئي لتكوين هذب التداخل الضوئي  
 المتعدد لفيرو عند الالتقاء

شكل ( ٨ )

ويراعى أن تكون المسافة بين الهدب (y) كبيرة حيث نعلم أن المسافة بين أى هدبتين متجاورتين تماوى  $\frac{\lambda}{2}$  لأنه كلما زادت y كلما زادت درجة الدقة فى القياس . فتتكون هدب التداخل بين طبقتى الفضة C, E هذه الهدب يمكن رؤيتها بوضوح بواسطة العينية للميكروسكوب . شكل (٧) يبين هدب فيزو للتداخل الضوئى المتعدد عند الانعكاس وهى تعطى سمك طبقة الفضة المرسبة بالطريقة التى سبق شرحها .

٧- النتائج :

Travelling microscope reading	distance between two consecutive fringes y	travelling microscope reading	Shift x	$n = \frac{x}{y}$	film thickness $\Delta t$ in $\mu m$
81.7-80.9	0.8	81.7-81.6	0.1	0.125	$3.41 \times 10^{-2}$
80.9-80.1	0.8	80.9-80.8	0.1	0.125	$3.4 \times 10^{-2}$
80.1-79.2	0.8	80.1-80.0	0.1	0.125	$3.4 \times 10^{-2}$
79.2-78.4	0.8	79.2-79.1	0.1	0.125	$3.4 \times 10^{-2}$

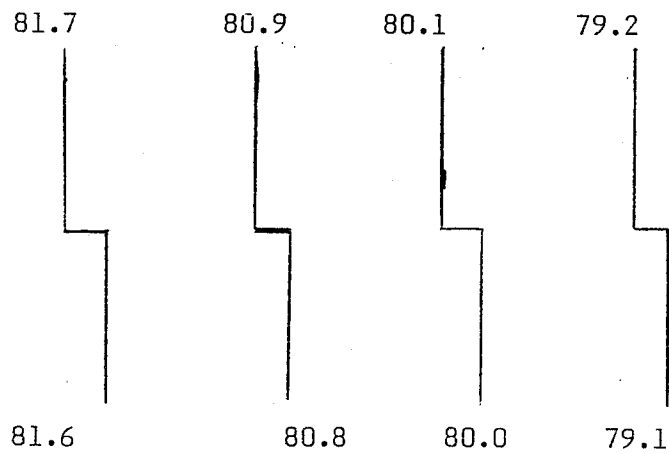
جدول (١) : لتعيين سمك الشريحة للعينة الأولى

80.9-80.1	0.8	81.2-80.4	0.3	0.375	$10.23 \times 10^{-2}$
80.1-79.3	0.8	80.4-80.1	0.3	0.375	$10.23 \times 10^{-2}$
79.3-78.5	0.8	79.6-79.3	0.3	0.375	$10.23 \times 10^{-2}$
78.5-77.7	0.8	78.8-78.5	0.3	0.375	$10.23 \times 10^{-2}$

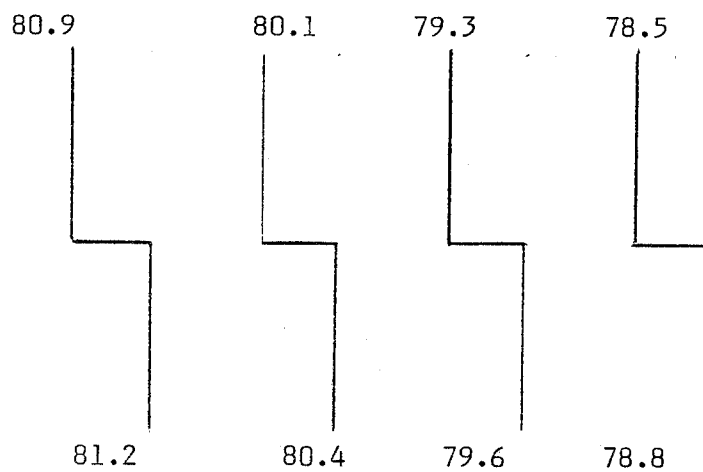
جدول (٢) : لتعيين سمك الشريحة للعينة الثانية

يبين شكل (٣٩) قراءات الميكروسكوب المتحرك Travelling microscope على هدب التداخل الناتجة عن العينة الأولى والمسافة  $\Delta x$  في هذا الشكل هي المسافة بين كل هدبتين متجاورتين من هدب التداخل والمسافة  $\Delta x$  هي مقدار الازاحة في هدب التداخل الناتجة عن وجود الطمء التي سبق ذكرها في شكل (٥) ونحسب  $\Delta t$  باستخدام هذه القراءات في المعادلة (١)  $\Delta t = \Delta n \frac{\lambda}{2}$





شكل ( 1.أ )  
قراءات الميكروسكوب المتحرك في حالة العينة الأولى



شكل ( 1.ب )  
قراءات الميكروسكوب المتحرك في حالة البيئة الثانية

يمكن حساب  $\Delta t$  وهو سم الشريحة المعدنية (فضة) المرصبة ويمكن

$$\text{حساب (2) } \Delta n = \frac{\Delta x}{y}$$

$\lambda$  هو الطول الموجي للخط الطيفي الأخضر للمصدر الضوئي المستخدم

$$\lambda = 5461 \text{ \AA} = 0.5461 \text{ \mu m} \quad \text{وهو مصباح الزئبق}$$

وفي جدول (١) تعطى قراءات الميكروسكوب للعينة الأولى ومنها يمكن

حساب قيم  $y$  كما في الصف الثاني من الجدول وكذلك قيم  $\Delta x$  كما في

الصف الرابع ومن معادلة (٢) يمكن حساب قيم  $\Delta n$  كما في الصف الخامس .

وباستخدام معادلة (١) والطول الموجي للخط الطيفي الأخضر لمصباح

الزئبق يمكن حساب سمك الشريحة ( $\Delta t$ ) وهو معطى في الصف السادس

من الجدول .

وفي شكل (٨) قراءات الميكروسكوب المتحرك للعينة الثانية وباستخدام

نفس الطريقة يمكن حساب سمك الشريحة  $\Delta t$  كما في جدول (٢) .

ويلاحظ في هذه الجداول أن القراءات المعطاة لسمك الشريحة متطابقة

تماماً وذلك يرجع إلى أن الدقة التي يمكن قياس هدب التداخل بها

بواسطة الميكروسكوب المتحرك المتاح في المعمل لا تتعدى ٠.٠٥ مم بينما

المفروض في مثل هذه القياسات أن تصل دقة الميكروسكوب المتحرك إلى

٠.٠٠١ من المليمتر كما في جهاز مزارن آبي

وبغيره من الأجهزة المخصصة لهذه الأغراض . ذلك إلى جانب أن هدب

التداخل المتكونة بالانترفيرومتر منتظمة جداً وحادة الخطوط مما

يجعل احتمال حدوث خطأ ناتج عن عدم انتظامها غير وارد في مثل

هذه الدرجة من دقة القياس .

References:

المراجع :

- 1- Tolansky, S. (1948), Multiple-Beam Interferometry of Surface and Films, (Oxford Clerendom Press).
- 2- Tolansky, S. (1955), Introduction to Interferometry.